

邓 治,刘实忠,校现周*

(中国热带农业科学院 橡胶研究所 农业部橡胶树生物学重点开放实验室,海南 儋州 571737)

摘 要:通过丙酮沉淀、DEAE-纤维素离子交换柱层析和 Sephadex G-100 凝胶过滤柱层析等分离纯化技术,对巴西橡胶树胶乳 C-乳清磷脂酶 A_2 进行分离纯化。用 SDS-PAGE 测定其亚基的相对分子量。测定该酶最适温度和 pH,动力学常数 K_m 和 V_{max} 。并测定 Ca^{2+} 和 La^{3+} 对酶活性的影响。结果显示:该酶被纯化了 49.47 倍,产率为 5.12%。 SDS-PAGE 检测为单一条带,其亚基相对分子量约 43 kDa。最适反应温度为 37 \mathbb{C} ,最适反应 pH 为 8.0, K_m 为 0.44 $mmol \cdot L^{-1}$, V_{max} 为 7.22 $\mu mol \cdot (mL \cdot min)^{-1}$ 。最适 Ca^{2+} 浓度为 50 $\mu mol \cdot L^{-1}$,稀土元素 La^{3+} 离子对磷脂酶 A_2 活性有抑制作用,但加入 Ca^{2+} 后可缓解 La^{3+} 对磷脂酶 A_2 活性的抑制作用。胶乳 C-乳清磷脂酶 A_2 与其他植物磷脂酶 A_2 在 Ca^{2+} 的依赖性上存在差异。研究结果为今后探索橡胶树胶乳磷脂酶 A_2 的催化机理、调节机理及生理功能等奠定了基础。

关键词: 巴西橡胶树; 磷脂酶 A2; 酶的纯化; 酶的性质

中图分类号: Q556 文献标识码: A 文章编号: 1000-3142(2010)06-0876-05

Purification and enzymatic characterization of phospholipase A₂ from latex of *Hevea brasiliensis*

DENG Zhi, LIU Shi-Zhong, XIAO Xian-Zhou*

(Rubber Research Institute, Chinese Academy of Tropical Agricultural Sciences, Key Laboratory of Rubber Biology, Ministry of Agriculture, Danzhou 571737, China)

Abstract: A phospholipase A_2 (PLA₂) was purified from the latex C-serum of Hevea brasiliensis by acetone precipitation, DEAE-Cellulose ion exchange chromatography, Sephadex G-100 gel filtration. SDS-PAGE was used to determine the Mr of the subunit of PLA₂. Then the K_m , V_{mex} , the optimum temperature and pH of PLA₂ were tested. The effect of Ca^{2+} and La^{3+} on PLA₂ activity were assayed. A 49, 47-fold purification was obtained with the recovery of 5.12% activity. The results showed that a single band on SDS-PAGE with a subunit Mr of 43 kDa. Latex C-serum PLA₂ had an optimum temperature at 37 °C, and an optimum pH at 8.2. The K_m was 0.44 mmol • L^{-1} . The V_{max} was 7.22 μ mol • (mL • min)-1. The Ca^{2+} ion optimum concentration for activity was determined to be 50 μ mol • L^{-1} . The activity of PLA₂ was inhibited by La^{3+} . The inhibited effect of La^{3+} was palliated after added calcium ion. There are differences of Ca^{2+} dependence between latex C-serum and other plant PLA₂. The results provide a research basis for catalytic mechanism, regulation, and physiology function of PLA₂ in latex.

Key words: Hevea brasiliensis; phospholipase A2; purification of enzymes; enzymological properties

收稿日期: 2009-03-09 修回日期: 2010-007-30

基金项目: 海南省自然科学基金(30104)[Supported by the Natural Science Foundation of Hainnan Province(30104)]

作者简介:邓治(1977-),女,云南昭通人,助理研究员,从事植物逆境生理生化研究工作,(E-mail)zizip@163.com

^{*} 通讯作者(Author for correspondence,E-mail:xiao_xianzhou@126.com)

磷脂酶 A2(EC 3.1.1.4, phospholipase A2, 简 称 PLA₂)是一种重要的代谢和调节酶类。在生物 体内广泛分布,按其来源可分为五种类型(Schaloske 等,2006):分泌型 PLA₂(sPLA₂)、胞质型 PLA₂ (cPLA₂)、Ca²⁺ 不依赖型 PLA₂(iPLA₂)、血小板活 化因子乙酰水解酶(PAF-AH)和溶酶体 PLA。 PLA。催化细胞膜上甘油磷脂的 Sn-2 位脂肪酸水 解,生成溶血磷脂及自由脂肪酸。这些脂类产物可 以充当细胞内的第二信使,也可进一步代谢产生荣 莉酸及相关复合物(Narváez-Vásquez 等,1999)。 此外,PLA₂ 在抗菌(Harwig 等,1995)、抗炎(王秋 雁等, 2001)、脂代谢(May等, 1999)、活性氧和生物 碱的产生(Munnik 等,1998; Roos 等,1999)、离子 通道功能(Mancuso 等, 2000)和生长素刺激生长 (Paul, 1998)等细胞的许多生理过程中起到重要作 用。目前对于动物的 PLA2 已有广泛的研究,但是 对植物 PLA。的研究报道则相对较少。 Kostyal 等 (1998)对胶乳过敏原 Hev b7 进行 cDNA 克隆,发 现它与 patatin 同源, patatin 具有类 PLA2 活性。但 是,目前尚未见到有关胶乳 PLA。纯化及其性质研 究的报道。本文对胶乳 PLA。进行了分离纯化,并 对其部分酶学性质进行了研究,以期为橡胶树胶乳 PLA, 的结构、催化机理等研究奠定基础。

1 材料与方法

1.1 材料

选取本院试验农场沙田队橡胶树无性系热研 7-33-97 的胶乳为实验材料。

1.2 方法

1.2.1 PLA₂ 的分离与纯化 酶的分离纯化参照汪家政(2002)和吴冠芸(2002)的方法,将采集的新鲜胶乳置于 4 °C 下,19 000 rpm,离心 1 h,利用穿刺针收集中层 C-乳清为粗酶液。取 20 mL C-乳清加入 4 ×体积的冰丙酮混匀,-20 °C 放置 1 h 后,4 °C,10 000 rpm 离心 10 min。弃上清,使沉淀风干。用 1 ~2 倍沉淀体积的缓冲液 I (0.05 mol·L¹ Tris-HCl,pH 8.2,5 mmol·L¹ β -巯基乙醇)悬浮沉淀。将重悬液上样于 DEAE-纤维素柱中(柱长 300 mm,直径 16 mm),先用 330 mL 的缓冲液I洗脱掉未结合的杂蛋白质。然后用 0 ~3 mol·L¹ NaCl 溶液进行线性梯度洗脱,洗脱速度为 0.5 mL·min¹,6 mL·管¹。收集具有 PLA₂ 活性的溶液放入透析袋中,4 °C下在缓冲

液II(0.25 mol·L¹ Tris-HCl,pH 8.2;5 mmol·L¹ β- 巯基乙醇,1% Tween-20)中透析过夜。将透析后的溶液经 PEG 20 000 浓缩,上样于 Sephadex G-100 柱中(柱长 600 mm,直径 26 mm),用缓冲液II进行洗脱,洗脱速度为 0.5 mL·min¹,6 mL·管¹。最后,将具有 PLA₂ 活性的溶液放入透析袋中,用 PEG 20 000 进行浓缩,-20 ℃保存备用。

1. 2. 2 PLA₂ 活性的测定 酶活性测定按 Kush 等 (1990)的方法进行。底物母液配制:称取 28 mg 对-硝基苯棕榈酸溶于 100 mL 1% Triton-X 100 中,加入 1% SDS 1. 7 mL 后加热溶解,定容后室温放置备用。取 1 mL 底物母液和 1 mL 反应缓冲液 (0. 1 mol·L⁻¹ Tris-HCl, pH8. 2)于试管中,再加入 0. 5 mL 酶液,摇匀,放入 37 $^{\circ}$ C水浴锅中温育 30 min 后,取出,加入 1 mL 无水乙醇中止反应,测 OD₄₁₀。以蒸馏水代替酶液,同法操作,作为空白对照。PLA₂活性以每分钟催化生成 1 μ mol 对硝基苯酚的酶量为一个酶活单位(U)表示,比活力(U·mg⁻¹)用每毫克蛋白所含的酶活性单位数表示。

1.2.3 蛋白质的测定及电泳检测 蛋白质浓度测定采用 Bradford(1976)的方法,以牛血清白蛋白为标准蛋白。采用 SDS-PAGE 测定酶蛋白质亚基相对分子量,分离胶浓度为 12%,浓缩胶浓度为 4%。参照 Gabriel(1971)的方法,电泳后酶活性的测定采用分离胶浓度为 12%,浓缩胶浓度为 4%的 Native-PAGE,电泳结束后,将凝胶分成两半,一半用于染色,根据染色结果将另一半相同位置上的凝胶切下测定 PLA₂ 活性。

1.2.4 PLA₂ 的酶学性质研究 酶活性最佳反应 pH 值实验: 将加入底物母液的酶液放在 pH0~ 14.0 之间的反应缓冲液中,间隔为 pH1.0 的条件 下 37 ℃反应 30 min,测定酶活性。根据测定的酶 活结果再选取 pH7.0~9.0 之间的反应缓冲液,间 隔为 pH0.2 的条件反应测定酶活性。酶活性最佳 反应温度实验:将加入底物母液的酶液分别放在 20 ~60 ℃条件下间隔为 10 ℃反应,反应缓冲液 pH8.2,反应时间 30 min,测定酶活性。根据结果再 选取 30~40 ℃之间,间隔 1 ℃的条件反应测定酶活 性。金属离子对酶活性的影响实验:①Ca2+对PLA2 活性的影响:在反应体系中加入 Ca2+浓度为 0~300 μmol·L⁻¹,间隔 50 μmol·L⁻¹,其余条件同 1. 2. 2; ②Ca²⁺存在条件下稀土元素 La³⁺对 PLA₂ 活性的 影响:在反应缓冲液中加入浓度为 50 μmol·L¹的

 Ca^{2+} ,然后再加入 La^{3+} 浓度为 $0\sim120~\mu mol \cdot L^{-1}$,间隔为 $20~\mu mol \cdot L^{-1}$,其余条件同 $1.2.2.6~K_m$ 及 V_{max} 值测定:配制不同浓度的底物溶液,分别与酶液 在最适 pH 和温度下反应,采用双倒数法确定 PLA₂ 的 K_m 及 V_{max} 值。

2 结果与分析

2.1 酶的分离纯化

PLA₂ 的粗提液经丙酮沉淀后上样于 DEAE-纤维素离子交换层析柱,洗脱液中出现 8 个蛋白质峰(图 1)。经测定,第 7 个峰具有酶活性,收集此峰的洗脱液共 30 mL,浓缩后进行下一步纯化。

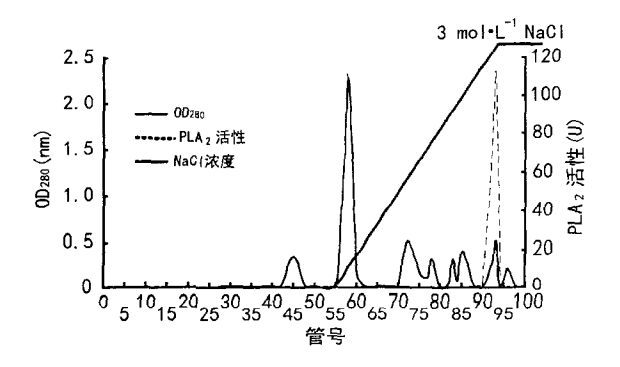


图 1 PLA2的 DEAE-纤维素离子交换层析洗脱图 Fig. 1 Elution profiles of PLA2 on Ion-exchange Chromatography of DEAE-Celluous

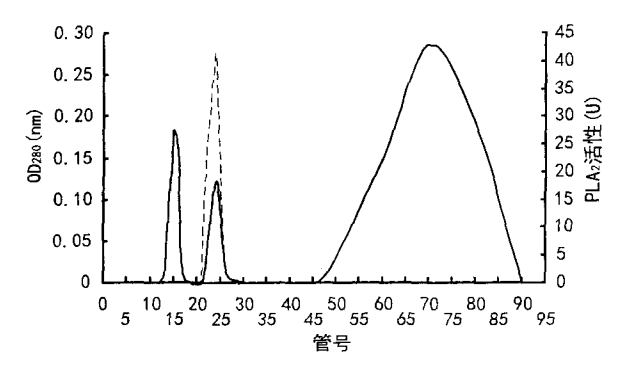


图 2 PLA₂ 的 Sephedax G-100 凝胶过滤层析洗脱图 Fig. 2 Elution profiles of PLA₂ on Gel filtration chromatography of Sephedax G-100

将上述具有酶活性的洗脱液上样于 Sephedax G-100 凝胶过滤层析柱后,经洗脱出现 3 个蛋白质峰(图 2),经测定第 2 个峰具有酶活性,收集此峰的洗脱液共 36mL,经 PEG 20 000 浓缩至 2mL 左右后保存备用。

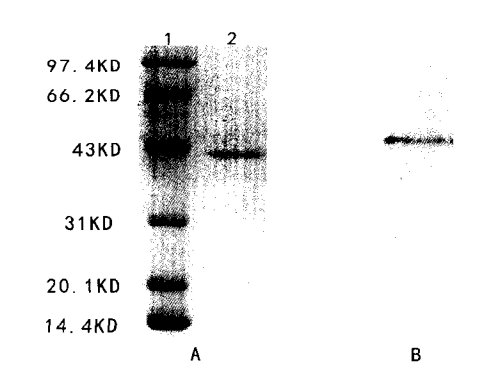


图 3 PLA₂ 的凝胶电泳图谱 Fig. 3 Electrophoresis pattern of PLA₂ A SDS-PACE图谱(1, Marker; 2, 纯化 PLA₂); B:PAGE图谱

分离纯化后的 PLA₂,用 SDS-PAGE 检测得到一条蛋白带,其分子量约 43 kDa(图 3:A)。用 N-ative-PAGE 检测得到一条带,切取含有该条带的凝胶检测到 PLA₂ 活性(图 3:B),从而确定该条带确为 PLA₂。经过上述纯化步骤可知,PLA₂ 已基本纯化,可以对其进行下一步酶学性质的研究。各纯化步骤所得到的纯化倍数和产率见表 1。

2.2 酶学性质

2.2.1 PLA₂ 反应的最适 pH 加入底物母液的酶液在反应缓冲液 pH0~14.0,间隔为 pH1.0 的条件下反应,可知 pH7.0~9.0 之间 PLA₂ 活性较高(数据未显示)。随后选取 pH7.0~9.0 之间的反应缓冲液,间隔为 pH0.2 的条件反应,结果可知 PLA₂ 最适 pH 值为 8.2(图 4)。

2.2.2 PLA₂ 反应的最适温度 加入底物母液的酶液分别放在 $20\sim60$ ℃条件下反应,结果 $30\sim40$ ℃之间 PLA₂ 活性较高(数据未显示)。然后选取 $30\sim40$ ℃之间的反应温度,间隔 1 ℃的条件反应,结果可知 PLA₂ 最适温度为 37 ℃(图 5)。

2.2.3 不同浓度钙离子对 PLA₂ 活性的影响 Ca^{2+} 对 PLA₂ 的影响多种多样,为研究 Ca^{2+} 对胶乳 C-乳清中 PLA₂ 的影响,在反应体系中加入 Ca^{2+} ,结果发现, Ca^{2+} 可促进 PLA₂ 活性,最适 Ca^{2+} 浓度为 50 μ mol·L⁻¹,其余都没有该浓度的促进作用明显(图 6)。这与 Jung 等(2000)报道的蚕豆 PLA₂、马铃薯晚疫病菌诱导的胞质 PLA₂ (Senda 等,1996)等植物 PLA₂ 为不依赖 Ca^{2+} 的结果不同。

2.2.4 不同 La^{3+} 浓度对 PLA_2 活性的影响 稀土元素 La^{3+} 对 PLA_2 活性有抑制作用。低浓度稀土抑制作用不很明显,当 La^{3+} 浓度达 $100~\mu mol \cdot L^{-1}$ 时

表 1 胶乳 PLA2 的分离纯化	表	1	胶乳	PLA ₂	的分	离	纯	4
-------------------	---	---	----	------------------	----	---	---	---

纯化步骤 Purification step	总蛋白 (mg) Total protein	总活力 (U) Total activity	比活力(U·mg ⁻¹) Specific activity	纯化倍数 Purification fold	产率 (%) Recovery
粗酶抽提	3 068.00	465.07	0. 15	1.00	100,00
丙酮沉淀	2 018.00	431.87	0.21	1. 42	92.86
DEAE-纤维素离子交换柱层析	10.60	67, 23	6.34	42.27	14.46
Sephedax G-10 柱层析	3. 21	23.82	7.42	49.47	5.12

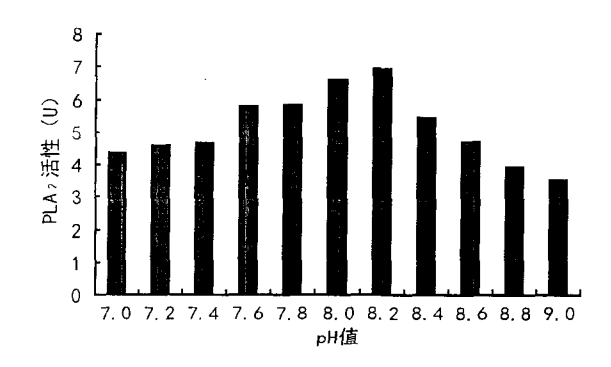


图 4 不同 pH 对 PLA2 活性的影响 Fig. 4 Effects of different pH on the activity of PLA2

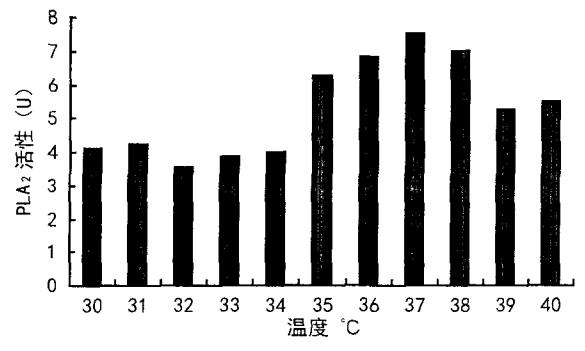


图 5 不同温度对 PLA₂ 活性的影响 Fig. 5 Effects of different temperatures on the activity of PLA₂

严重抑制 PLA₂ 酶活性,酶活仅为无 La³⁺ 时的 56%。当 La³⁺浓度达 $120~\mu mol \cdot L^1$ 时几乎完全抑制了 PLA₂ 活性 (图 7)。这与稀土离子对蛇毒 PLA₂ 的影响情况一致 (李伟国等, 2002)。而加入 Ca²⁺后可缓解 La³⁺ 对 PLA₂ 的抑制作用。这可能是 Ca²⁺具有和 La³⁺ 相近的离子半径和配位化学环境,Ca²⁺离子可以竞争性地结合在酶的活性部位。 2. 2. 5 PLA₂ 的 K_m 和 V_{max} 值测定 在 pH8. 2、37 $^{\circ}$ 飞下,采用双倒数法测得胶乳 C-乳清 PLA₂ 对对硝基苯棕榈酸的 K_m 为 0. 44 mmol · L^1 , V_{max} 为 7. 22 μmol · (mL·min)⁻¹。

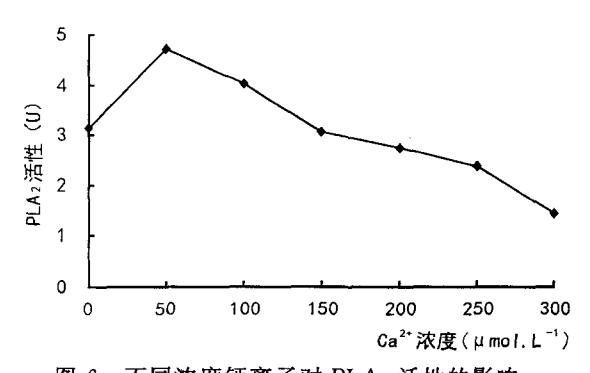


图 6 不同浓度钙离子对 PLA2 活性的影响 Fig. 6 Effects of different calcium ion concentrations on the activity of PLA2

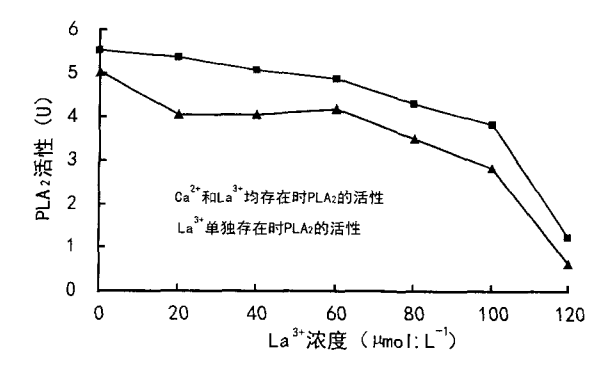


图 7 不同 La³⁺浓度对 PLA₂ 活性的影响 Fig. 7 Effects of different lanthanum ion concentrations on the activity of PLA₂

3 讨论

胶乳 C-乳清通过丙酮沉淀、离子交换层析、凝胶过滤层析等分离纯化方法,获得 43 kDa 左右电泳纯的 PLA₂。与蚕豆叶片 PLA₂ 纯化结果相比,胶乳 C-乳清中纯化倍数较低,这可能是不同的分析条件下底物的量不同所造成的。而橡胶树胶乳 C-乳清中PLA₂ 的最适 pH 为 8.2,这可能与物种的起源及生长适应性有关。Ca²⁺ 对 PLA₂ 的影响是多种多样的,Ca²⁺ 离子对于低分子量的 PLA₂ 具激活作用,也可触

发 IV 类 cPLA。转移定位到膜上。植物中的 PLA。多 为钙不依赖型(Wang, 2001),但 Ca2+ 却对本文中所纯 化得到的 PLA。有激活作用,由于 Ca2+ 在信号转导和 许多生理代谢活动中起重要的调节作用,其作用机理 较复杂,所以 Ca2+ 对胶乳 PLA。的激活机制还有待进 一步研究。本文纯化得到的胶乳 C-乳清 PLA。是否 是一种新型的植物 PLA。呢? 这还需进行蛋白质测 序和结构分析等研究后才能确定。稀土元素影响植 物的许多生理功能,包括植物生长、营养代谢、光合作 用、特别是对植物抗逆性。其中稀土元素 La3+ 与 Ca²⁺ 无论性质及结构均很相似,其不同之处是 La³⁺ 的电荷高于 Ca2+,因而有人将稀土离子称为"超级 钙"(倪嘉缵,1995)。它不仅可占据钙的位置,还可取 代包括结合的 Ca2+。并且已有研究表明稀土元素与 钙还有一定的拮抗作用(Rangel, 1994; Hodick & Sievers,1998)。本文研究结果表明稀土元素 La3+ 离 子对 PLA。活性有抑制作用,但加入 Ca2+ 后可缓解 La3+对 PLA2 活性的抑制作用,这可能是稀土元素与 钙之间的竞争或拮抗作用的结果。

参考文献:

- 吴冠芸,潘华珍,吴翚. 2002. 生物化学与分子生物学实验常用数据手册[M]. 北京:科学出版社:38-62
- 倪嘉缵,1995.稀土生物无机化学[M],北京:科学出版社:4 汪家政,范明,2002.蛋白质技术手册[M],北京:科学出版社: 61-62
- Bradford MM. 1976. A rapid and sensitive method for the quantitation of microgram quantities of protein utilizing the principle of protein-dye binding[J]. *Anal Biol Chem*, 72:248-254
- Gabriel (). 1971. Locating enzymes on gels[J]. Methods in Enzymology.22:578-604
- Harwig SS, Tan L, Qu XD, et al. 1995. Bactericidal properties of murine intestinal phospholipase A₂ [J]. J Clin Invest, **95**(2): 603-610
- Hodick D, Sievers A. 1988. The action potential of *Dionaea muscipula* Ellis[J]. *Planta*, 174:8—18
- Jung KM, Kim DK. 2000. Purification and characterization of a membrane-associated 48-kilodalton phospholipase A₂ in leaves of Broad Bean[J]. Plant Physiol, 123:1 057-1 068
- Kostyal DA, Hickey VL, Noti JD, et al. 1998. Cloning and characterization of a latex allergen (Hev b7); homology to patatin, a plant PLA₂[J]. Clin Exp Immunol, 112(3):355—362
- Kush A, Goyvaerts E, Chye M, et al. 1990. Lacticifer-specific gene

- expression in *Hevea brasiliensis* (rubber tree [J]. *Proc Natl Acad Sci USA*, **87**:1 787-1 790
- Li WG(李伟国), Lu ZW(卢振伟), Zhao DQ(赵大庆). 2002. Effects of rare earth ions and their complexes on the activity of snake venom phospholipase A₂ (稀土及其配合物对蛇毒磷脂酶 A₂ 活性的影响)[J]. Chem Res(化学研究), 13(1):1-4
- Mancuso DJ, Jenkins CM, Gross RW. 2000. The Genomic organization, complete mRNA sequence, cloning, and expression of a novel human intracellular membrane-associated calcium-independent phospholipase A₂[J]. *J Biol Chem*, **275**:9 937-9 945
- May C, Preisig-Müller R, H? hne M, et al. 1998. A phospholipase A₂ is transiently synthesized during seed germination and localized to lipid bodies[J]. Biochim Biohpys Acta, 1 393(2-3):267-276
- Munnik T, Irvine RF, Musgrave A. 1998. Phospholipid signaling in plants[J]. Biochim Biohpys Acta, 1 389(3); 222-272
- Narváez-Vásquez J, Florin-Christensen J, Ryan CA. 1999. Positional specificity of a phospholipase a activity induced by wounding, systemin, and oligosaccharide elicitors in tomato leaves[J].

 Plant Cell, 11(11):2 249-2 260
- Paul RU, Holk A, Scherer GFE. 1998. Fatty acid and lysophospholipids as potential second messengers in auxin action. Rapid activatin of a phospholipase A₂ activity by auxin in suspension cultured parsley and soybean cell[J]. Plant J, 16(5):601—611
- Rangel Z. 1994. Disturbance of cell Ca²⁺ homeostasis as a primary in aluminum rhizo toxicity I. Inhibition of root growth is not caused by reduction of calcium uptake[J]. *Plant Physiol*, **143**: 47-51
- Roos W,Dordschbal B,Steighardt J, et al. 1999. A redox-dependent G-protein-coupled phospholipase A of the plasma membrane is involved in the elicitation of alkaloid biosynthesis in Eschscholtzia californica[J]. Biochim Biohpys Acta, 1448(3);390—402
- Schaloske RH, Dennis EA. 2006. The phospholipase A₂ superfamily and its group numbering system[J]. *Biochimica Biophysica Acta*, **1761**;1 246-1 259
- Senda K, Yoshioka H, Doke N, et al. 1996. A cytosolic phospholipase A₂ from potato tissues appears to be patatin[J]. Plant Cell Physiology, 37(3):347-353
- Wang QY(王秋雁), Zhuang MX(庄茂辛), Lin WZ(林文珍), et al. 2001. Myotoxic activity study of acid PLA₂ from Guangxi Ophiophagus hannah Venom(广西眼镜王蛇毒酸性磷脂酶 A₂ 的肌毒性研究)[J]. J Snake(蛇志), 13(1); 12-14
- Wang XM. 2001. Plant phospholipases [J]. Annu Rev Plant Physiol Plant Mol Bio, 52:211-231